

## БИБЛИОГРАФИЧЕСКИЙ СПИСОК

1. Власов К.А., Кутукова Е.И. Изумрудные копи. - М.: Изд-во АН СССР, 1960. - 251 с.
2. Волошин А.В., Пахомовский Я.А., Рогачев Д.Л., Тюшева Ф.Н., Шишкун И.М. Гинзбурговский кальций-бериллиевый силикат из десилицированных пегматитов //Мин.журнал. - 1986. - Т.8. - №4. - С.85-90.
3. Волошин А.В., Пахомовский Я.А., Рогачев Д.Л., Надеждина Т.Н., Пущаровский Д., Бахчисарайцев А.Ю. Клиновехонт - новая природная модификация  $\text{Be}(\text{OH})_2$  из десилицированных пегматитов //Мин.журнал. - 1989. - Т.11, №5. - С.88-95.
4. Золотухин Ф.Ф. Мариинское (Малышевское) месторождение изумруда, Средний Урал. - Абзаково, Екатеринбург - Санкт-Петербург, 1996. - 70 с.
5. Клейменов Д.А. Вещественный состав, условия формирования и перспективы использования в производстве окисления Березовского золоторудного месторождения: Автoref.дис. ...канд.геол.-минер.наук. - Екатеринбург, 1999. - 23 с.
6. Попов М.П., Зашихин В.П., Абрамов В.А. Эвклаз с Уральских Изумрудных копей // Уральская 60-летняя минералогическая школа. - Екатеринбург, 1996. - С.131-132.
7. Попов М.П., Попов В.А. Бехонт с Мариинского месторождения изумрудов //Материалы Уральской 60-летней минералогической школы. - Екатеринбург, 1998. - С.-132-134.
8. Смит Г. Драгоценные камни: Пер. с англ. - М.: Мир, 1984. - 558 с.

УДК 552.55+553.878

Н.М.Дружинина

### К ВОПРОСУ О ГЕНЕЗИСЕ ЮЖНОУРАЛЬСКИХ ЯШМ

Среди пород, относимых к яшмам, можно выделить две группы: собственно яшмовидные породы. Месторождения последних известны на Урале, Алтае, в Крыму (Калканское, Казах-Чикканское; Коргонское, Ревневское, Гольцовское; Карадагское). Классические яшмы развиты на Южном Урале (г.Полковник, Калиновское, Западное, Таш-Казган и др.), и на их примере существуют различные точки зрения.

Сторонники метаморфогенной гипотезы, опираясь на присутствие в яшмах метаморфических ассоциаций (гранат, актинолит), рассматривают яшмы как контактово- или регионально-метаморфические, а также метасоматические образования, первичная природа которых может быть связана с осадочной, вулканогенно-осадочной и даже магматической [8,9,16,20,21].

Приверженцы биогенно-осадочной гипотезы считают, что абсолютное большинство яшм образовалось в результате литогенеза глубоководных радиоляриевых, диатомово-радиоляриевых илов, которые, по аналогии с современными океаническими осадками, формировались ниже уровня карбонатной компенсации (глубины, на которой скорость поступления биогенного карбоната материала и скорость его растворения равны, в результате чего происходит накопление карбонатных, а кремнистых илов) [2,3]. Они исходят из того, что для яшм характерны органические структуры, аналоги которых, по данным сканирующей электронной микроскопии, наблюдаются в разностях, на первый взгляд абиоморфных. Значительная мощность толщ, содержащих яшмы, и породообразующих количествах реликты кремнистых организмов, также свидетельствует в пользу биогенно-осадочного происхождения яшм [2].

И.В.Хворова [22, 23], Е.В.Зайкова [4] полагают, что образование яшм связано с экспансационно-гидротермальной деятельностью, в результате которой идет привнос в осадок эндогенного кремнезема, что стимулирует развитие организмов с кремниевым скелетом.

чивания гидротерм. При этом поступление с экскальвациями  $\text{CO}_2$  и других кислых газов делает бескарбонатность яшм, так как  $\text{CaCO}_3$ , устойчив при  $\text{pH} > 6,8$ , а в кислой обстановке - интенсивное растворение. В качестве доказательства в пользу вулкагененного осаждения основной массы кремнезема в яшмах приводятся данные о современном выносе кремнезема на поверхность океанского дна ("белые курильщики", железисто-гель в металлоносных осадках).

Сомнительно, современное гидротермальное осаждение кремнезема наблюдается на восточных хребтах, которые характеризуются сейсмической активностью, проявлениями землетрясения и мощным тепловым потоком. На дне океана в пределах спредингового хребта расположены источники горячих флюидов с температурой до  $350^\circ\text{C}$  и  $\text{pH}$  до 4, отлагающие высокотемпературные "зубные сооружения". Среди них выделяются высокотемпературные "черные курильщики", выбрасывающие облака тонкодисперсных сульфидов, и менее горячие (до  $100^\circ\text{C}$ ) "белые курильщики", выбрасывающие взвешенный аморфный кремнезем, барит и пирит. Однако в удалении от зон хребтов важное значение приобретают биогенно-осадочные известковые илы. При флангах хребтов ниже глубины карбонатной компенсации происходит фациальная смена карбонатных осадков кремнистыми илами или красными глинами [12].

Таким образом, одним из наиболее дискуссионных остается вопрос о природе исходного яшма, и подойти к решению этого вопроса возможно лишь после детального исследования гео-петрографических и петрохимических особенностей.

С этой целью были изучены яшмы, отобранные автором в окрестностях пос. Старый Сибай (Эттукан, Оло-Тау, Карюкмас, Тауак), а также яшмы из коллекции Ю.Г. Крежевских (Байкальские, ташкаганские, давлетовские и орские (г. Полковник). Яшмы Старого Сибая отличаются от яшм, признакам, предложенным Г.А. Каледой [5]: они залегают среди спилитов и диабазовых пород в виде пластов и линз, количество  $\text{SiO}_2$  составляет 78-98 %, яшмы обладают ясной структурой, практически половина их содержит реликты радиолярий, причем с сохранившимся внутренним строением. Это необходимо отметить в связи с тем, что подчас люди ошибочно понимают породы, которые имеют собственное петрографическое название (известковые туфы, роговики), что не способствует прояснению генезиса яшм. Так, Е.В. Зайковой и М.Е. Яковлевой [1] были описаны южноуральские яшмы, в которых широко развиты метаморфические минеральные ассоциации (гранат, актинолит, пумпеллит), однако в то же время осадочная природа яшм не была доказана, что позволило Е.В. Зайковой [4] внести эти яшмы в свою классификацию отнести вышеуказанные породы к яшмоидам, образовавшимся в результате метаморфизма и метасоматоза туфов, эфузивных и интрузивных пород, а по поводу яшм было высказано мнение, что они характерны лишь для силицитов, претерпевших яркий метаморфизм при внедрении силлов диабазов.

Старый Сибай в структурном отношении находится в западном крыле Магнитогорского антиклинария в пределах Кизило-Уртазымской синклинальной зоны. Кизило-Уртазымская синклиналь в свою очередь расположена вдоль восточной части Баймакского рудного района. На ее склонах находятся складки третьего порядка: Бакруякская, Карамалыташская и Сибайская [10, 14, 15]. На Карамалыташской антиклинали приурочено Сибайское медноколчеданное месторождение (залежи Новый Сибай, Слепая Залежь).

Яшмовые проявления из окрестностей поселка Старый Сибай расположены в Карамалыташской антиклинали, несколько севернее ее центральной части. Антиклиналь сложена среднедевонской карамалыташской свиты ( $D_2\text{ekr}$ ): диабазовыми и базальтовыми породами, их туфами и вулканическими брекчиями, а также плагиоклазовыми, пироксен-плагиоклазовыми порфиритами андезито-базальтового состава; подчиненное значение имеют яшмы, а также породы, кремнистые аргиллиты.

На восточной части карамалыташской антиклинали присутствуют субвулканические тела базальтов, в центральных частях - выходы красных бутылыгырских яшм. Изредка наблюдаются

небольшие интрузии габброидов (юго-запад брахиантиклинали). На севере Карамалыташ антиклинали отмечается система диагональных разрывных нарушений, а по ее западной границе крупный субмеридиональный разлом.

На востоке брахиантиклиналь граничит с красными яшмами, кремнистыми туффи-кремнистыми алевролитами бутылыгырского горизонта и вулканогенными и осадочными породами улугауской свиты ( $D_2gvul_2$ ). Последние представлены туфами, туфобрекчиями в основании андезитового состава, содержащими прослои кремнистых туффитов и туфопесчаников, а также маломощными покровами андезитовых порфиритов. С запада антиклиналь ограничена андезито-базальтовыми туфами ( $D_2gvul_1$ ), с запада и юго-запада - бутылыгырскими яшмами и дресвой вулканогенными породами ирендымской свиты ( $D_{1,2}eig_2$ ), представленными туфобрекчиями пироксен-плагиоклазовых порфиритов андезито-базальтового состава, их туфами, кремнистыми туффитами и диабазами.

Итак, карамалыташская свита, формирование которой происходило в эйфельское время, представлена породами контрастной спилит-кератофировой формации натровой серии, причем Карамалыташской брахиантиклинали преимущественно развита спилит-диабазовая субформация. Повсеместные элювиальные отложения и коренные выходы слагающих ее вулканитов и алевролитов отмечены в 2-6 км западнее пос. Старый Сибай. Наиболее мощные обнаружения наблюдаются в западном и юго-западном склоне г. Эттуткан, на г. Тауак и Карюкмас.

На северо-западном склоне г. Тауак наблюдаются коренные выходы темно-зеленых диабазовых порфиритов, частично разбитых трещинами, по которым развиты буроватые гидрослюды и гидроокись железа. На диабазовых порфиритах, видимая мощность которых не превышает 50 см, залегают слоистые сургучно-зеленые яшмы; границы между слоями резкие. Мощность яшмовой прослоек составляет 80 см, видимая длина 150 см, азимут падения ЮВ 132°,  $\angle 20$ . Выше по разрезу сменяются сильно выветрелыми темно-серовато-зелеными диабазовыми порфиритами. При верхние и нижние контакты яшм с диабазовыми порфиритами прямолинейные и резкие. Микроскопическом изучении диабазовых порфиритов наблюдаются неправильные зерна эпидота размером до  $0,5 \times 0,3$  мм, листы плагиоклаза размером от  $0,1 \times 0,03$  до  $0,5 \times 0,08$  мм. Плагиоклаз изменен, по нему развиты агрегаты кварца, соссюрита. Основная масса состоит из плагиоклаза, пумпеллиита, изредка отмечаются волосовидные иголочки актинолита, а также кварц. Минералы выполнены хлоритом. Очень редок пренит.

Разрез г. Карюкмас представляет собой чередование диабазовых порфиритов и сургучно-красных яшм: последние обнажаются у подножия южной части г. Карюкмас в виде пласти оконочной мощностью и общей видимой протяженностью около 10 м. Гипсометрически наблюдаются повсеместные выходы диабазовых порфиритов. На вершине г. Карюкмас устанавливается полоса их коренных выходов, тянущаяся с севера на юг. Таким образом предполагаемая мощность может составлять примерно 20 м и более.

У подножия восточного склона г. Карюкмас наблюдается микрообнажение розовато-кремнистых яшм, которые подстилаются туфами основного состава, причем туфы постепенно переходят в яшмы. Видимая мощность яшм около 0,3 м.

Наиболее четко взаимоотношение яшм и вмещающих пород прослеживается на г. Эттуткан, особенно в северной и юго-западной ее части. Так, на северном склоне наблюдаются коренные диабазовые порфириты, видимая мощность которых 0,8-1,0 м, и сургучных и зеленовато-серых яшм с мощностью 0,4-0,5 см. Контакты между диабазовым порфиритом и яшмой резкие. Кроме того, отмечены темно-зеленые спилиты с характерной караваеобразной формой размером 1,6x0,8 см, которых залегают слоистые сургучно-зеленые яшмы, которые в верхней части "обтекают" спилиты. Нижней характеризуются горизонтальным наслаждением.

На г. Эттуткан отмечаются также коренные выходы яшм, вниз по разрезу переходящие в буровато-серые кремнистые аргиллиты. Мощность аргиллитов составляет 0,05-0,1 м, яшм - 0,1 м.

Таким образом, геологический разрез западных окрестностей Старого Сибая представляет чередование диабазовых и базальтовых порфиритов, спилитов, яшм и в меньшей степени туфовного состава и кремнистых аргиллитов. Границы между яшмами и аргиллитами, яшмами и туфами резкие, нередко субпрямолинейные. Для контакта яшм и туфов характерны постепенные склоны.

Яшмы Старого Сибая характеризуются слоистыми, полосчатыми, пятнистыми текстурами, отмечается конкреционное, микросферолитовое строение. Они окрашены в розовые, сургучно-серовато-зеленые, оливково-зеленые, серовато-голубоватые, белые цвета.

В яшмах Старого Сибая были выделены следующие минеральные ассоциации:

- 1) кварц+андрадит-гроссуляр±гематит±актинолит (43 % от всех проанализированных образцов);
- 2) кварц+андрадит-гроссуляр+актинолит+эпидот+хлорит+гематит (15 %);
- 3) кварц+андрадит-гроссуляр+актинолит+эпидот+хлорит+стильпномелан±гематит (15 %);
- 4) кварц+андрадит-гроссуляр+эпидот±хлорит±гематит (16 %);
- 5) кварц+андрадит-гроссуляр+актинолит+эпидот±стильпномелан±гематит (5,5 %);
- 6) кварц+хлорит+эпидот+серцицит (2,5 %);
- 7) кварц+хлорит+эпидот+пумпеллиит ±гематит (2,5 %).

Присутствующие в яшмах в породообразующих количествах гроссуляр-андрадит, актинолит, стильпномелан, а также хлорит являются новообразованными в результате метаморфизма. Это свидетельствует форма их выделения, а также их одновременное присутствие в яшмовой массе и в жилках.

Гранат представлен ультрамикроскопическими зернами, иногда идиоморфными (рис.1), размером от 0,001 до 0,015. Они образуют криптозернистые, микрогломеробластовые агрегаты буроватого, коричневатого цвета, размер которых составляет 0,01-0,05 мм (рис. 2,а, 2,б, 2,в). Гранат входит в состав халцедон-кварц-гранатовых сферолитов, которые иллюстрируют новообразованный характер. Иногда наблюдаются жилки гранатового и халцедонового составов; в последнем случае отмечаются полностью ограненные ромбододекаэдрические светло-желтого цвета размером 0,03-0,10 мм.

Гранат определен рентгеноструктурным анализом как андрасит по отражениям 3,020; 2,360; 1,610 Å, которые на дифрактограмме не являются пиками других минералов (кварца, эпидота, хлорита, гематита) и по отражениям 3,020; 2,690; K2,560; 3,360; 2,200; 1,9560; 1,910; 1,600 Å на диаграмме, снятой с белых яшм, состоящих практически из кварца и андрасита (ДРОН-0,5, Си-излучение, U=35 кВ, I=10 мА, аналитик Н.Г. Сапожникова, УГГГА). Состав гранатов, определенный на электронном микрозондовом анализаторе "САМЕСА" (УГГГА, аналитик В.Н. Ослоповских) представлен в табл. 1 и 2.

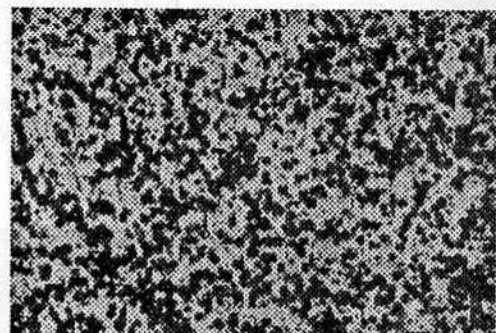


Рис. 1. Темно-бурые кристаллики

гроссуляра-андрадита в розово-белой яшме (г. Карюкмас). Ув. 100.

Николи парал.

**Химический состав (мас.%) гранатов из брекчийидных яшм  
(зерно 1-5-алый участок; зерно 6-10 -розовый участок)**

Компонент	Зерно 1	Зерно 2	Зерно 3	Зерно 4	Зерно 5	Зерно 6	Зерно 7	Зерно 8	Зерно 9	Зерно 10
Mg	0,00	0,00	0,02	0,00	0,00	0,32	0,00	0,15	0,15	0,00
Al	0,88	0,27	0,68	1,02	0,88	3,25	3,20	2,76	2,76	2,57
Si	16,75	18,19	17,13	14,99	16,08	16,83	17,92	16,33	16,33	17,10
Ca	25,39	19,67	23,20	22,63	24,95	25,21	22,40	23,25	23,25	23,84
Ti	0,01	0,01	0,01	0,00	0,00	0,00	0,33	0,20	0,20	0,07
Mn	0,02	0,04	0,03	0,00	0,00	0,02	0,22	0,05	0,05	0,11
Fe*об	19,19	24,17	18,16	22,30	18,29	15,48	13,65	17,73	17,73	16,87
Сумма	62,63	62,35	59,23	60,94	60,24	61,11	57,71	60,39	60,47	60,58

\* Суммарное железо принято за Fe<sup>2+</sup>.

### Кристаллохимические формулы

1.  $(\text{Ca}_{2,99}\text{Mn}_{0,01})_{3,00}(\text{Fe}_{1,88}\text{Al}_{0,12})_{2,00}[\text{Si}_3\text{O}_{12}]$  – Andr94Gross6
2.  $(\text{Ca}_{2,99}\text{Mn}_{0,01})_{3,00}(\text{Fe}_{1,95}\text{Al}_{0,05})_{2,00}[\text{Si}_3\text{O}_{12}]$  – Andr97Gross3
3.  $(\text{Ca}_{2,98}\text{Mg}_{0,01}\text{Mn}_{0,01})_{3,00}(\text{Fe}_{1,83}\text{Al}_{0,17})_{2,00}[\text{Si}_3\text{O}_{12}]$  – Andr92Gross8
4.  $\text{Ca}_{3,00}(\text{Fe}_{1,81}\text{Al}_{0,19})_{2,00}[\text{Si}_4\text{O}_{12}]$  – Andr91Gross9
5.  $(\text{Ca}_{2,99}\text{Mg}_{0,01})_{3,00}(\text{Fe}_{1,84}\text{Al}_{0,16})_{2,00}[\text{Si}_3\text{O}_{12}]$  – Andr92Gross8
6.  $(\text{Ca}_{2,94}\text{Mg}_{0,06})_{3,00}(\text{Fe}_{1,38}\text{Al}_{0,62})_{2,00}[\text{Si}_3\text{O}_{12}]$  – Andr69Gross31
7.  $(\text{Ca}_{2,97}\text{Mn}_{0,03})_{3,00}(\text{Fe}_{1,33}\text{Al}_{0,67})_{2,00}[(\text{Si}_{2,95}\text{Ti}_{0,05})_{3,00}\text{O}_{12,00}]$  – Andr67Gross33
8.  $(\text{Ca}_{2,97}\text{Mn}_{0,03})_{3,00}(\text{Fe}_{1,37}\text{Al}_{0,63})_{2,00}[(\text{Si}_{2,97}\text{Ti}_{0,03})_{3,00}\text{O}_{12,00}]$  – Andr68Gross32
9.  $(\text{Ca}_{2,97}\text{Mn}_{0,03})_{3,00}(\text{Fe}_{1,52}\text{Al}_{0,48})_{2,00}[(\text{Si}_{2,99}\text{Ti}_{0,01})_{3,00}\text{O}_{12,00}]$  – Andr76Gross24
10.  $(\text{Ca}_{3,00}\text{Mn}_{0,01})_{3,01}(\text{Fe}_{1,52}\text{Al}_{0,48})_{2,00}[(\text{Si}_{2,99}\text{Ti}_{0,01})_{3,00}\text{O}_{12,00}]$  – Andr76Gross24

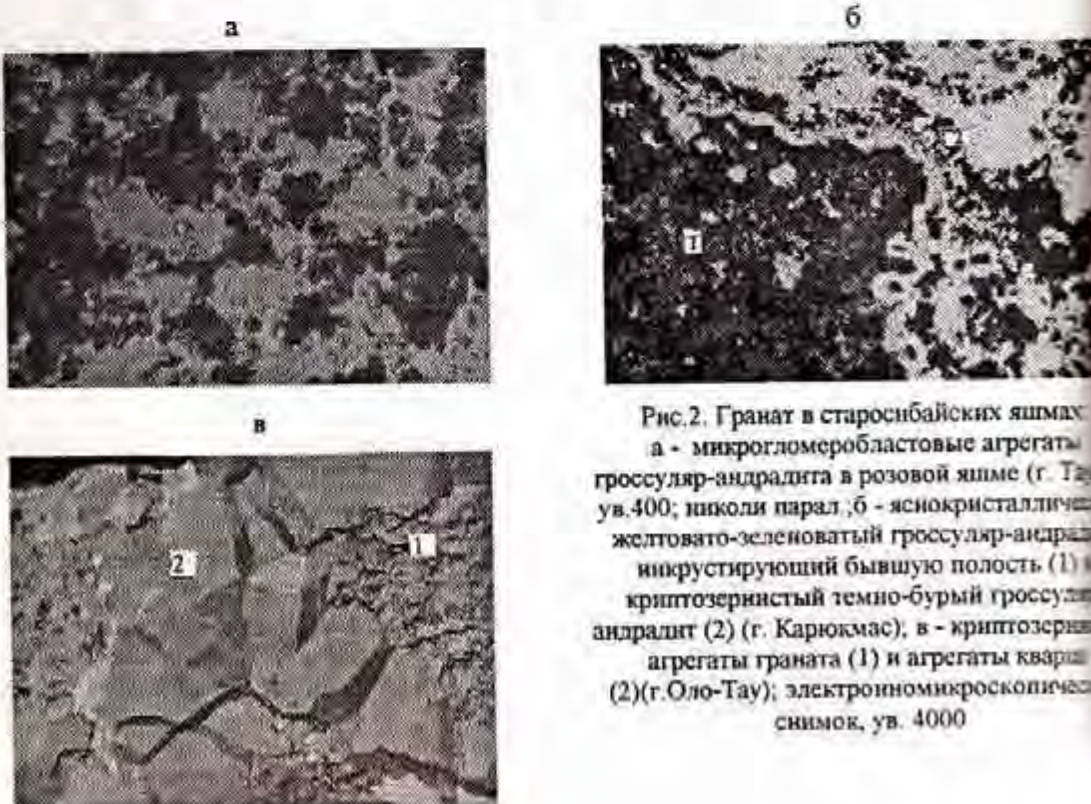


Рис.2. Гранат в старосибайских яшмах:  
а - микрогломеробластовые агрегаты гроссуляр-андрадита в розовой яшме (г. Тая, ув.400; никели парал.); б - ясиокристаллическая желтовато-зеленоватый гроссуляр-андрадит криптокристаллический темно-бурый гроссуляр-андрадит (2) (г. Карюкмас); в - криптокристаллические агрегаты граната (1) и агрегаты кварца (2) (г. Оло-Тая); электронномикроскопические снимки, ув. 4000

Таблица 2

**Химический состав (мас.%) гранатов из светло-розовых яшм  
(старый Сибай, окрестности г. Каюкмас)**

Компонент	Зерно 1	Зерно 2	Зерно 3	Зерно 4	Зерно 5	Зерно 6
Mg	0,34	0,31	0,21	0,25	0,16	0,32
Al	1,86	2,19	2,10	1,76	2,16	3,54
Si	21,36	21,77	24,31	23,86	21,20	16,19
Ca	20,83	22,29	18,18	19,22	21,35	24,69
Ti	0,22	0,05	0,15	0,09	0,06	0,07
Mn	0,04	0,06	0,04	0,06	0,06	0,23
Fe*	14,37	15,59	14,13	13,16	14,52	14,59
Сумма катионов	59,06	62,26	59,12	58,40	59,50	59,64

\* Суммарное железо принято за Fe<sup>2+</sup>.

**Кристаллохимические формулы гранатов:**

1.  $(\text{Ca}_{2,92}\text{Mg}_{0,07}\text{Mn}_{0,01})_{3,00}(\text{Fe}_{1,58}\text{Al}_{0,42})_{2,00}[(\text{Si}_{2,97}\text{Ti}_{0,03})_{3,00}\text{O}_{12,00}]$  -Andr79Gross21
2.  $(\text{Ca}_{2,93}\text{Mg}_{0,07}\text{Mn}_{0,01})_{3,01}(\text{Fe}_{1,55}\text{Al}_{0,44})_{1,99}[\text{Si}_3\text{O}_{12}]$  - Andr78Gross22
3.  $(\text{Ca}_{2,93}\text{Mg}_{0,06}\text{Mn}_{0,01})_{3,00}(\text{Fe}_{1,52}\text{Al}_{0,47})_{1,99}[(\text{Si}_{2,00}\text{Ti}_{0,01})_{3,01}\text{O}_{12,00}]$  -Andr77Gross23
4.  $(\text{Ca}_{2,93}\text{Mg}_{0,06}\text{Mn}_{0,01})_{2,99}(\text{Fe}_{1,57}\text{Al}_{0,43})_{2,00}[\text{Si}_3\text{O}_{12}]$  - Andr78Gross22
5.  $(\text{Ca}_{2,96}\text{Mg}_{0,04}\text{Mn}_{0,01})_{3,01}(\text{Fe}_{1,53}\text{Al}_{0,47})_{2,00}[\text{Si}_3\text{O}_{12}]$  - Andr76Gross24
6.  $(\text{Ca}_{2,77}\text{Mg}_{0,06}\text{Mn}_{0,17})_{3,00}(\text{Fe}_{1,33}\text{Al}_{0,67})_{2,00}[\text{Si}_3\text{O}_{12}]$  - Andr62Gross30Spess8

Почти полный микрозондовым анализом состав граната отвечает гроссуляр-андрадиту с преобладанием гроссуляровой составляющей: от 3 до 32 %; при этом практически чистый андрадит для участков, содержащих повышенное количество гематита (до 3-5 %).

По данным дифференциального термического анализа (ИгиГ, аналитик В.Г. Петрищева, температурный график 0-1500), гроссуляр-андрадит незначительно гидратирован. Так, при исследовании яшм, состоящих из 72-74 % кварца, 26-28 % граната и меньше 1 % гематита (пересчет минерального состава яшмы на минеральный произведен по методу П.Ниггли), кривая нагревания проявляется эндотермическим эффектом при температуре 630-900°C (потеря веса – меньше 0,1 %), который связан с дегидратацией граната.

Активолит отмечается как в ткани яшмы, так и в кварцевых жилках в виде бесцветных тончайших иголочек длиной 0,03-0,10 мм, радиально волокнистых, спиралевидных агрегатов с расщепляющимися волокнами (рис.3). Относительно крупные (до 0,15x0,013 мм) иголочки наблюдаются в сургучино-сероватых яшмах, изредка отмечается клиновидные зерна размером около 0,050x0,025 мм с признаком склонности к слоистости, расположенных под углом 52-55°. Угол угла склонности чаще всего равен 15-18°, но иногда его значение отклоняется до 12-20°. Показатели преломления активолита из яшм серовато-голубых яшм, замеренные иммерсионным методом, составляют  $n_d = (1,638 \pm 1,644) \pm 0,001$ ,  $n_p = (1,618 \pm 1,621) \pm 0,001$ ,  $n_g - n_p = (0,020 \pm 0,022) \pm 0,001$ . Рентгеноструктурным методом установлено присутствие активолита в серовато-голубой яшме фиксируется по наиболее интенсивным линиям 5,130; 4,900; 3,140; 1,896 Å. В кварцевых жилках иголочки активолита нередко

пронизывают сразу несколько зерен кварца. В актинолит-кварцевой жилке мощностью 2 м обнаружен зеленый актинолит, плеохроирующий от зеленого по  $n_g$  до светло-зеленого по  $n_p$ . Кварцевых жилах иголочки актинолита иногда пронизывают сразу несколько зерен кварца.



Рис.3. Игольчатые агрегаты актинолита (1) среди агрегатов кварца (2). Серовато-зеленая яшма (г. Эттукаи). Электронномикроскопический снимок. Ув. 7000

Показатель преломления хлорита из протолочек серовато-зеленых яшм составляет  $n_m = (1.58-1.588) \pm 0.001$ , максимальное двупреломление иногда достигает 0,007. На дифрактограмме — отражения, за исключением  $d=7.080 \text{ \AA}$ , перекрыты отражениями других минералов. На ДТГ начальный эффект связан с температурой  $600^\circ$ , что характерно для ряда клинохлор - прохлорит (х. состояла из кварца, эпидота, хлорита и актинолита; ИГиГ, аналитик В.Г. Петрищева).

Стильномелан образует неправильные, субизометрические чешуйки, их агрегаты (рис.4), а также удлиненные очень тонкие пластинки от  $0.05 \times 0.005$  до  $0.15 \times 0.02$  мм. В некоторых особо крупных пластинках наблюдались трещины спайности параллельно удлинению. Трещины несовершенной спайности, расположенные субперпендикулярно удлинению, отмечены только в одном зерне. Для некоторых пластинок стильномелана характерно микрокорродирование более длинных сторон. Он интенсивно окрашен и резко плеохроирует: по  $n_g$  и  $n_m$  — красновато-бурый, темно-бурый, по  $n_p$  — светло-коричневый, медово-желтый, изредка с зеленоватым оттенком. Тончайшие пластинки плеохроируют от зеленоватого по  $n_g$  (при этом показатель преломления близок к показателю преломления актинолита) до бесцветного по  $n_p$  (величина  $n_p$  приближается к величине показателя преломления кварца); то есть для стильномелана характерно очень высокое двупреломление, максимальное значение которого приближается к 0,100. Угасание удлиненных пластинок прямое.

Прежде чем подвести черту под краткой характеристикой породообразующих яшм-минералов, образовавшихся в результате метаморфизма, необходимо сказать несколько слов о кварце. Кварц, слагающий матрицу яшм, представлен кристаллическими и тонкозернистыми агрегатами (рис.5); в первом случае размер зерен кварца не всегда можно определить оптически.

Светло-зеленый эпидот образует субизометрические, неправильные зерна, размер которых ( $0.1-0.20$  мм) на порядок и более превышает средний размер зерен кварца и граната. Показатели преломления эпидота, измеренные в иммерсионных жидкостях, составляют:  $n_g = (1.768-1.779) \pm 0.001$ ,  $n_p = (1.738-1.753) \pm 0.002$ , максимальное двупреломление — 0,030,  $2V = +80-90^\circ$  (оценен по диаграмме Райта). На дифрактограмме фиксируются наиболее интенсивные отражения эпидота —  $4.040, 3.2, 2.920, 2.010 \text{ \AA}$ , остальные перекрыты отражениями кварца и гроссуляр-андрадита. Желтовато-зеленый оливково-зеленый эпидот выполняет жилки, иногда вместе с хлоритом; в эпидот-кварцевых жилах образует неправильные зерна, очень редко радиально-лучистые агрегаты.

Хлорит представлен светло-зелеными микрочешуйчатыми агрегатами, единичными чешуйками, отдельными зернами и агрегатами, иногда с примесью хлорита. Хлорит характеризуется показателем преломления  $n_m = (1.58-1.588) \pm 0.001$ , максимальное двупреломление — 0,007. На дифрактограмме — отражения, за исключением  $d=7.080 \text{ \AA}$ , перекрыты отражениями других минералов. На ДТГ начальный эффект связан с температурой  $600^\circ$ , что характерно для ряда клинохлор - прохлорит (х. состояла из кварца, эпидота, хлорита и актинолита; ИГиГ, аналитик В.Г. Петрищева).



Рис.4. Стильномелан в кварц-стильномелановых жилах. Серо-голубая яшма с размытыми сургучевыми пятнами (г. Эттукаи). Ув. 100. Николи парал.

зия четких границ между ними; во втором – зерна более крупные (размером до 0,33 мм), четко окраинены, обладают неправильной формой.

маты и зерна андродит-гроссуляра, актинолит, эпидот, стильпномелан не несут на себе геогических признаков замещения одного минерала другим, обладают устойчивыми формами и имеют непосредственные контакты друг с другом.

шим из окрестностей пос. Старый Сибай характерны физические ассоциации, и их появление закономерно, вмещающие яшмы — основные вулканиты (спилиты, базальты, порфириты), как, впрочем, и весь комплекс юго-среднедевонских пород западного крыла горского мегасинклиниория, претерпели относительно низкотемпературный региональный метаморфизм. При исследовании старосибайских спилитов и базальтовых порфиритов установлено, что, кроме альбита, оливинита, эпидота, хлорита, они нередко содержат зернистые агрегаты актинолита, подобные актинолиту

Тонкозернистые агрегаты пумпеллитита слагают массу, тончайшие иголочки и агрегаты актинолита сены к кварцевым жилкам и к тем участкам основной, которые сложены кварцевыми агрегатами. Условия, при устойчивы эти два минерала, отвечают пумпеллит-титовой фации регионального метаморфизма, для характерна температура 350-360° С при давлении 2,6 кбар [18] (рис.6). Следует отметить, что некоторые граната, актинолита в яшмах не с региональным на них диабазовых порфиритов. Однако результат на непосредственном контакте яшмы и вышележащих порфиригитах старосибайских яшмах минеральный (0,5-2,0 м).



6. Рт-условия пумпеллит-анолитовой фации [18]. Рт-  
пумпеллит, Аct-актинолит

тского также состоят из  
листа, стилем номенклатура.

Минеральные ассоциации, характерные для старосибайских яшм, наблюдаются также и в яшмах из других южноуральских месторождений. Так, при микроскопическом изучении яшм г. Полковник, Таш-Казган, Давлетово были установлены следующие минеральные ассоциации (курсивом выделены ассоциации, характерные и для яшм Старого Сибая):

- 1) кварц+гранат±гематит±актинолит (45 % от всех проанализированных ассоциаций);
  - 2) кварц+гранат+стильпномелан±гематит (23 %);
  - 3) кварц+гранат+актинолит+эпидот+хлорит±стильпномелан±гематит (14 %);
  - 4) кварц+гранат+эпидот+хлорит±гематит (6 %);
  - 5) кварц+гранат+актинолит+хлорит±гематит (3,5 %);
  - 6) кварц+гранат+актинолит+эпидот+стильпномелан±гематит (3,5%);
  - 7) кварц+хлорит+эпидот+серицит (5 %).

По данным Г.П. Барсанова и М.Е. Яковлевой [1], яшмы из месторождений г. Полковник, Западного, Анастасьевского, Бирюса, андрадит-гроссуляра, актинолита, гематита, а также хлорита.

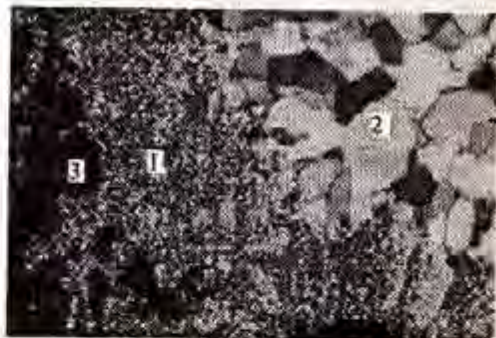


Рис.5. Криптозернистый (1) и тонкозернистый (2) кварц, чериос – гранат (3). Розовая яшма (г. Карюкмас), Ув. 100, Николи +

Таким образом, для яшм из различных южноуральских месторождений (Этуткан, г. Полковник Калиновское, Давлетово, Таш-Казган и др.) характерны аналогичные минеральные ассоциации. в гранатсодержащих яшмах они образуют ряд (кварц+гроссуляр-андрадит)-(кварц+гроссуляр-андрадит+актинолит+эпидот+хлорит+стильпномелан+гематит), промежуточные ассоциации представлены кварцем и различным сочетанием граната, актинолита, эпидота, хлорита, стильпномелана, гематита. Безгранатовые яшмы имеют состав кварц+хлорит+эпидот+серпентин+кварц+гематит±стильпномелан.

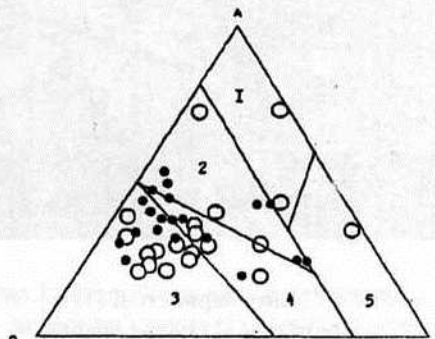


Рис. 7. Результаты химических анализов старосибайских яшм (черные кружки) и яшм из других месторождений Южного Урала (белые кружки) на диаграмме АСF.

Цифрами обозначены химические классы:

1 - пелитовый, 2 - кварц-полевошпатовый, 3 - известково-карbonатный, 4 - основной, 5 - магнезиальный

богатых алюминием; 11 % проб попало на границу известково-карбонатного и основного, основного-кварц-полевошпатового, кварц-полевошпатового и пелитового классов (рис.7).

1. Яшмы, располагающиеся в поле исходных известково-карбонатных пород, состоят преимущественно из кварца (60-85 %) и граната гроссуляра-андрадитового ряда (10-40 %); кроме того в незначительных количествах могут присутствовать стильпномелан, актинолит, эпидот, а также гематит. Количество  $\text{SiO}_2$  в яшмах составляет 79,82-94,41 %. Практически половина яшм из этой области содержит диагностируемые реликты радиолярий.

Минеральный состав яшм, в частности широкое развитие в них гроссуляра-андрадита, предполагает породообразующих количествах (иногда до 40 %), говорит о неслучайности их попадания в обстановку исходных известково-карбонатных пород. По экспериментальным данным [11], необходимо условием формирования андрадита при относительно низких температурах ( $270-350^\circ\text{C}$ ) явиться избыток кальция, что характерно для известково-карбонатного систем или систем, в которых известково-карбонатного вещества существенна. Такой системой могут являться карбонатные илы, подобные тем, что наблюдаются в современных океанах. Так, широкое распространение яшм планктонных организмов с кремниевым скелетом и высокое содержание  $\text{SiO}_2$  говорит о том, что одним из компонентов исходного вещества были биогенно-кремнистые океанические

Минералогические и петрохимические особенности яшм отражают состав их исходного вещества. Они являются породами, претерпевшими метаморфические изменения. Следовательно, для анализа их петрохимических особенностей правомерно использовать диаграмму АСF = метаморфитов, на которую нанесены поля исходных пород: 1 - пелитовый (производные осадков, богатых алюминием); 2 - кварц-полевошпатовый (производные песчаников и кислых пород), 3 - известково-карбонатный (производные известняков и доломитов, содержащих незначительное количество кварца, глинистых минералов), 4 - основной (производные основных эфузивов и их туфов), 5 - магнезиальный (производные ультраосновных магматических пород и некоторых осадков, богатых магнезиумом). На диаграмму также вынесены собственные результаты химических анализов яшм Старого Сибая (табл. 3) и также химические анализы яшм из других месторождений Южного Урала и Малого Кавказа (по Г.П. Барсанову, Н.Яковлевой, [1] и В.С. Вишневской [2] (табл.4)). При этом массовые доли оксидов в процентах переведены в молекулярные количества. 49 % всех яшм оказалось в вероятных исходных известково-карбонатных породах, 19 % - в поле основных пород и их туфов, 16 % - в поле производных кварцевых песчаников и кислых пород, 5 % - в поле осадочных пород.

химический и минералогический анализ показывают, что они содержали также известково-глинистое вещество.

Таблица 3

Результаты химического анализа старосибайских яшм

1	2	3	4	5	6	7	8	9	10
93,68	94,41	89,62	88,96	87,78	93,58	84,76	84,40	91,33	94,52
<0,01	<0,01	<0,01	<0,01	0,046	<0,01	<0,01	0,22	<0,01	<0,01
2,19	1,78	1,39	2,98	3,56	2,50	1,99	5,32	3,18	2,06
0,45	0,20	0,14	1,90	0,57	0,23	0,17	2,30	1,25	0,31
2,11	0,69	4,75	1,06	2,46	0,37	8,66	3,36	0,37	1,11
0,035	0,41	0,041	0,042	0,047	<0,01	0,030	0,060	<0,01	0,035 0,041
2,98	2,62	3,21	3,58	1,55	1,55	4,17	2,02	1,43	1,35 1,41
0,35	0,20	0,25	1,00	2,49	0,30	0,30	1,46	1,25 1,36	0,41
0,11	<0,05	0,070	0,070	<0,05	0,21	0,11	0,14	0,11	0,31 0,30
0,11	0,033	0,066	0,04	0,07	0,066	0,060	0,10	0,08	0,076
0,017	0,025	0,023	0,054	<0,005	0,009	0,051	0,017	0,33	0,024
<0,1	<0,1	0,42	0,51	0,63	<0,1	<0,1	0,62	0,50	<0,1
<0,05	<0,05	<0,05	<0,05	1,00	1,09	<0,005	<0,05	<0,05	<0,05
99,92	100,05	99,98	100,20	100,20	99,97	100,30	100,00	100,02	100,20

Окончание табл. 3

11	12	13	14	15	16	17	18	19	20
92,90	78,48	79,82	90,54	88,53	88,27	92,05	92,95	87,40	93,94
0,072	0,26	0,28	0,15	0,17	0,14	<0,01	<0,01	<0,01	0,01
2,23	7,01	5,56	4,08	4,01	3,75	2,52	2,21	1,91	2,67
0,23	4,54	0,43	0,20	0,71	0,94	0,40	0,27	0,20	0,16
2,32	3,48	3,62	2,56	3,35	3,46	2,06	2,26	6,98	0,31
<0,01	0,08	4,10	0,06	0,036	0,041	<0,01	<0,01	0,032	<0,01
2,05	2,05	6,01	2,12	3,73	2,75	2,78	2,02	3,98	1,63
0,12	2,58	0,037	0,19	0,26	0,31	0,20	0,31	0,25	0,23
0,19	0,28	0,28	0,28	0,19	0,33	0,08	0,15	0,15	0,14
0,10	0,39	0,15	0,19	0,10	0,10	0,09	0,10	0,08	0,04
0,021	0,039	0,067	0,049	0,092	0,028	0,01	0,01	0,035	0,01
0,25	0,71	<0,05	<0,05	<0,05	0,25	<0,1	0,1	<0,1	0,15
0,15	<0,05	<0,05	<0,05	<0,0	0,23	<0,05	0,1	<0,05	0,82
100,48	100,26	100,35	100,42	100,18	100,33	100,22	100,32	100,17	100,05

Примечание. 1 - серовато-голубоватая яшма, г. Эттулкан; 2 - белая яшма, г. Карюкмас; 3 - брекчийская розовато-алая яшма, г. Ташкент; 4 - розовато-коричневатая яшма, г. Карюкмас; 5 - сургучно-голубоватая яшма, г. Эттулкан; 6 - светло-зеленая яшма, г. Тауак; 7 - светло-розовато-алая яшма, г. Карюкмас; 8 - сургучно-красная яшма, г. Эттулкан; 9 - серовато-зеленая яшма, г. Эттулкан; 10 - светло-коричневатая яшма, г. Эттулкан; 11 - розовато-белая микросферолитовая яшма, г. Карюкмас; 12 - темно-зеленая яшма, г. Эттулкан; 13 - светло-коричневатая яшма, г. Карюкмас; 14 - белая яшма, г. Эттулкан; 15 - светло-зеленая яшма, г. Эттулкан; 16 - буровато-красноватая яшма, г. Эттулкан; 17 - розовато-голубоватая яшма, г. Эттулкан; 18 - розовая яшма, г. Карюкмас; 19 - розовато-красная яшма, г. Карюкмас; 20 - серовато-зеленая яшма, г. Тауак.

Таблица 4

**Химический состав яшм из различных месторождений  
(по литературным данным)**

Компоненты, вес. %	1	2	3	4	5	6	7	8	9	10
SiO <sub>2</sub>	95,52	87,86	Не опр.	91,39	90,57					
Al <sub>2</sub> O <sub>3</sub>	1,18	4,12	1,02	1,80	-	3,57	1,47	4,28	2,64	2,82
FeO	0,19	0,44	0,78	0,30	0,82	-	0,98	1,94	0,16	0,35
Fe <sub>2</sub> O <sub>3</sub>	0,75	1,09	5,96	4,50	5,41	5,47	2,83	19,11	4,66	2,26
MnO	0,05	0,98	0,10	0,35	0,56	1,24	0,11	0,04	0,11	0,16
CaO	1,23	4,01	6,74	4,87	5,14	7,19	3,30	0,73	1,07	3,56
MgO	0,33	0,49	Не опр.	Не опр.	0,16	0,78	0,61	0,99	Не опр.	0,02
Na <sub>2</sub> O	0,04	0,14	Не опр.							
K <sub>2</sub> O	0,15	0,23	Не опр.							

Окончание табл. 4

Компоненты, вес. %	11	12	13	14	15	16	17	18	19	20
SiO <sub>2</sub>	Не опр.	93,04	87,69	88,44	91,82	82,16	90,12	93,42	91,37	90,38
Al <sub>2</sub> O <sub>3</sub>	2,81	2,06	4,89	4,60	1,92	7,14	3,21	1,56	2,41	2,34
FeO	0,35	0,28	2,25	0,34	Не обн.	1,84	0,31	0,56	0,25	1,46
Fe <sub>2</sub> O <sub>3</sub>	2,59	0,69	Не обн.	1,66	1,12	0,27	1,13	0,68	1,14	0,97
MnO	2,29	0,64	0,19	0,24	0,43	0,04	0,12	0,03	0,10	0,04
CaO	4,05	1,66	0,22	0,44	2,49	3,95	1,95	1,30	1,42	1,30
MgO	0,05	0,49	1,82	0,94	0,39	1,35	0,46	Сл.	0,38	0,47
Na <sub>2</sub> O	Не опр.	Не опр.	0,02	0,13	0,04	0,02	0,21	0,54	0,41	0,34
K <sub>2</sub> O	Не опр.	Не опр.	0,02	2,33	0,05	0,03	0,66	0,30	0,66	0,84

Примечание. 1-16 - данные Г.П. Барсанова и М.Е. Яковлевой [1], 17-20 - В.С. Вишневской [2]: 1 - розовая яшма, г. Полковник - желто-белая яшма, г. Полковник; 3 - розово-красная яшма, Западное; 4 - светло-розовая яшма, Западное; 5 - розовая яшма, Западное; 6 - грязно-белая яшма, Западное; 7 - темно-розовая, Западное; 8 - красная яшма, Западное; 9 - красная яшма, Анастасьевское - розовая яшма, Анастасьевское; 11 - кремовая яшма, Старомуйнаковское; 12 - темно-красная яшма, Старомуйнаковское; 13 - яшма, Наурузово; 14 - буровато-красная яшма, Наурузово; 15 - белая яшма, Кушва; 16 - зеленая яшма, Ташауловская; 17-20 радиолирные яшмы Малого Кавказа.

То, что в исходном осадке присутствовали карбонаты кальция, является немаловажным фактом. Как известно, для яшм характерна бескарбонатность, которая объяснялась и объясняется сих пор формированием их ниже глубины карбонатной компенсации [2] или как доказательство существования субмаринной гидротермально-фумарольной деятельности, при которой шел выпадение SiO<sub>2</sub>, CO<sub>2</sub> и других кислых газов, в результате шло образование существенно кремнистых осадков, лишенных карбонатов [22, 23]. Однако наши исследования показали, что Ca-карбонат в исходном осадке присутствовал, следовательно, исходным веществом яшм являлись карбонатно-кремнистые осадки, формировавшиеся выше или вблизи глубины карбонатной компенсации, причем кремнезем должен быть существенно биогенным (по крайней мере, для яшм, содержащих андралит-гроссуит), так как гидротермальное осаждение SiO<sub>2</sub> (например белые курильщики) происходит в кислой среде, в которой кальцит неустойчив.

2. Около 19 % яшм находится в области производных основных эффузивов и их туфов. Содержание в них SiO<sub>2</sub> колеблется от 88,96 до 94,52 %. Они нередко содержат реликты радиолир, имеют полиминеральный состав. Яшмы «основного» класса состоят из кварца и почти равных количеств андралит-гроссулярового граната, актинолита, эпидота, хлорита, иногда стильпнита. При этом триада эпидот - актинолит - хлорит говорит об основном характере исходного вещества.

её сосуществование с гроссуляр-андрадитом позволяет предположить об одновременном  
существии известково-карбонатного компонента, и ассоциацию (гроссуляр - андралит)+эпидот-  
лит - хлорит можно назвать «карбонатно-вулканогенной».

Таким образом, как видно из особенностей строения (наличие биоморфных структур) и  
химического состава данных яшм, исходный илистый осадок был карбонатно-кремнистым, однако  
был разбавлен веществом вулканитов основного состава, что привело к появлению хлорита и  
хематита на диаграмме ACF в область исходных основных пород. «Основное» вещество могло  
быть в ил с туфовыми частицами основного состава; не исключено также, что определенную  
роль сыграло подводное выветривание основных вулканитов, с которыми пространственно связаны

3. Практически 16 % яшм попало в область производных песчаников и кислых пород. Они  
составлены из кварца, гематита, андралит-гроссуляра, актинолита, стилгномерана. Содержание  $\text{SiO}_2$   
изменяется от 84,40-91,33 %; во многих присутствуют радиолярии, при этом для яшм характерно  
равненное соотношение  $\text{Al}_2\text{O}_3/\text{CaO}((\text{Al}_2\text{O}_3 + \text{Fe}_2\text{O}_3)/\text{CaO})$  по сравнению с яшмами «основного» и  
«известково-карбонатного» классов.

Необходимо отметить, что яшмы данного класса не группируются в определенной области,  
в двух предыдущих случаях, а тяготеют к границам с «слитковым» и с «основным» классами, и их  
формация предшествует.

4. Яшмы, попавшие в область производных глинистых пород, составляют абсолютное  
 большинство. Они содержат 86,70-91,33 %  $\text{SiO}_2$  и состоят из кварца, эпидота, хлорита, серицита.

Таким образом, по составу исходного вещества среди яшм Старого Сибая и яшм из других  
месторождений Южного Урала (г. Полковник, Таш-Казган, Давлетово) выделены две большие  
группы: «известково-карбонатные» и смешанные «карбонатно-вулканогенные». Первые образовались  
из карбонатно-кремнистых илов, последние – из карбонатно-кремнистых илов, обогащенных  
кремнистым материалом основного состава. Непременным условием становления яшмы как породы  
является низкотемпературный региональный метаморфизм (от пресвит-пумпеллитовой до  
холанцевой фации).

## БИБЛИОГРАФИЧЕСКИЙ СПИСОК

1. Барсанов Г.П., Яковлева М.Е. Минералогия яшм СССР. - М.: Наука, 1978. - 88 с.
2. Вишневская В.С. Радиоляриты как аналоги современных радиоляриевых илов. - М.: Наука, 1984. - 128 с.
3. Волохин Ю.Г. Кремниевые породы Сихотэ-Алиня и проблема происхождения геосинклинальных  
толщ. - Владивосток, 1985. - 208 с.
4. Зайкова Е.В. Кремнистые породы оникситовых ассоциаций. - М.: Наука, 1991. - 134 с.
5. Каледа Г.Л. Эволюция кремнистого осадконакопления на континентальном блоке //Происхождение  
и практическое использование кремнистых пород. - М.: Наука, 1987. - С. 43-58.
6. Киевленко Е.Я., Сенкевич И.Н. Геология месторождений поделочного камня. - М.: Недра, 1976.
7. Кремезевских Ю.Г. Уральский яшмовый пояс // Известия вузов. Горный журнал. Уральское горное  
деление. - Вып.8.- Екатеринбург, 1995.
8. Кремезевских Ю.Г. Текстуры яшм и их генезис // Известия вузов. Горный журнал. Уральское горное  
деление. - Вып. 8. - Екатеринбург, 1995.
9. Малахов А.Е., Надежкин К.М. Генетические особенности месторождений орских пестроцветных  
шпатов и мат-лы СГИ. - Свердловск. - 1940. - Вып.6. - С.63-85.
10. Медноколчеданные месторождения Урала. Геологическое строение. - Свердловск, 1988. - 280 с.
11. Миль Б.В., Калинин Д.В. О некоторой температурной границе образования гранатов в скарновом  
смеси (экспериментальные данные) //ДАН СССР - 1966. - Т. 137, №3. - С.655-658.
12. Обстановки осадконакопления и фации. - Т.2. - М.: Мир, 1990. - 384 с.
13. Осадкообразование и вулканиты в геосинклинальных бассейнах. - М., 1979. - 236 с.

14. Перижняк Н.А., Прокин В.А., Шигарев В.Г. Сибайский рудный район //Типы рудных районов колчеданоносных провинций Ю. Урала и З. Казахстана. - М., 1973. - С.111-115.
15. Прокин В.А., Паливода Н.К., Долматов Г.К. Баймакский рудный район //Мат-лы геол.н. поиска полезных ископаемых Ю. Урала. - Уфа, 1962. - Вып. 3. - С.73-90.
16. Смолин А.П. Яшмы Урала и Алтая. - М.: Недра, 1968. - 40 с.
17. Соболев Р.Н., Фельдман В.Н. Методы петрохимических пересчетов пород и минералов.-М.: Недра, 1984. - 224 с.
18. Термо-и барометрия метаморфических пород. - М.: Наука, 1977.
19. Добречов Н.Л., Соболев В.С., Хлестов В.В. Фации метаморфизма умеренных давлений. - Недра, 1972. - 286 с.
20. Ферсман А.Е. Очерки по истории камня. - Т.2. - М.: Изд-во АН СССР, 1961.
21. Фоминых А.Ф. Последовательность формирования и некоторые вопросы генезиса цветных металлов Гайского района //Тр. ЦНИГРИ - 1967. - Вып. - 67. - С.28-43.
22. Хворова И.В. Кремненакопление в геосинклинальных областях прошлого //Тр. ГИН. - 1968. - Вып. 195. - С.9-136.
23. Хворова И.В. Парагенезисы кремнистых пород в терциерских геосинклиналях //Осадкообразование и вулканализм в геосинклинальных бассейнах - М.: Наука, 1979. - С.38-59.

УДК 549.75(437)

С.Г. Суставов, А.А. Канонеров

## МИНЕРАЛЫ ЗОНЫ ОКИСЛЕНИЯ СВИНЦОВОГО УТКИНСКОГО РУДНИКА (СРЕДНИЙ УРАЛ)

Уткинский рудник расположен на левом берегу р. Межевая Утка вблизи впадения в нее р. Топкая и в 45 км к западу от г. Н.-Тагила. Рудник открыл в 1833 г. нижне-тагильский служитель Е. Коряков [2].

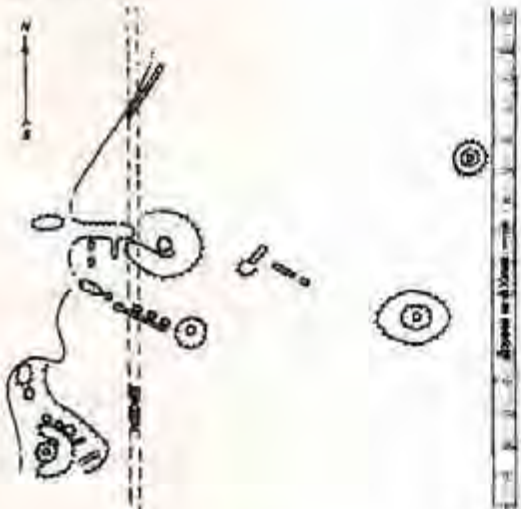


Рис.1. Схема расположения отвалов и горных выработок на территории Уткинского рудника

подножия склона г. Вахромеиха река делает петлю в западном направлении. На обрывистом бер-

Постоянных горных работ на руднике не велось. В период с 1833 по 1837 гг. была проведена разведка попутной добычей свинцово-серебряных руд. Руды привозились на Нижне-Тагильском и Выйском заводах. Время разведки на Уткинском и Горно-Анатольском рудниках было добыто 256 кг свинца и 3,6 кг серебра.

Оруденение на Уткинском руднике представлено серией субширотно расположенных кварцевых залегающих в толще тальково-глинистых сланцев окварцованных известняков. Минерализация в зоне представлена вкрапленностью и гнездовыми скоплениями серебросодержащего галенита и пленками самородного серебра. Наряду с ними в жилах встречаются: самородная медь, халькопирит, борнит и медная зелень [1].

В настоящее время на месте рудника не осталось даже следов горных работ. Все разведочные выработки оплыли и заросли вскормленным лесом. Ревизионные работами (Высоцкий Н.К., 1905-1908 гг., [3]) рудник обнаружен не был. Положение рудника было уточнено Канонеровым А.А. в 1996 г. Ориентиром для нахождения рудника служит река Межевая Утка. У северо-западного